



北京谱仪  
BESIII 上质子形状因子中的双光子交换效应

核子的电磁结构

重子形状因子  
双光子交换的贡献

电荷不对称  
角分布不对称的分析

双光子交换  
 $F_3$  的研究

其他高阶效应的排除

分离 IFI  
分离效果

总结

# 北京谱仪 BESIII 上质子形状因子中的双光子交换效应

夏磊<sup>1,2</sup>, 胡继锋<sup>3,a</sup>, 王雅迪<sup>4</sup>, Rinaldo Baldini Ferroli<sup>5</sup>,  
Frank Maas<sup>6</sup>, 李海波<sup>7,8</sup>, and 黄光顺<sup>2,3</sup>

<sup>1</sup> 中国科学技术大学

<sup>2</sup> 核探测与核电子学国家重点实验室

<sup>3</sup> 华南师范大学

<sup>4</sup> 华北电力大学

<sup>5</sup> INFN Laboratori Nazionali di Frascati

<sup>6</sup> Helmholtz Institute Mainz

<sup>7</sup> 中国科学院高能物理研究所

<sup>8</sup> 中国科学院大学

<sup>a</sup> 广东省核物质科学与技术重点实验室

2025 年 3 月 22 日, 第四届强子与重味物理理论与实验联合研讨会  
兰州大学, 兰州



# 目录

北京谱仪  
BESIII 上质子形状因子中的  
双光子交换效应

核子的电磁结构

重子形状因子  
双光子交换的贡献

电荷不对称  
角分布不对称的分析

双光子交换  
 $F_3$  的研究

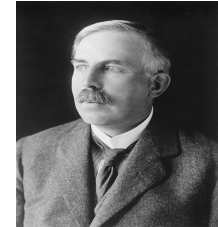
其他高阶效应的排除

分离 IFI  
分离效果

总结



## 1 核子的电磁结构



## 2 电荷不对称



## 3 其他高阶效应的排除

## 4 总结



# 核子的电磁结构

北京谱仪  
**BESIII** 上质子形状因子中的双光子交换效应

核子的电磁结构

重子形状因子  
双光子交换的贡献

电荷不对称  
角分布不对称的分析

双光子交换  
 $F_3$  的研究

其他高阶效应的排除

分离 IFI  
分离效果

总结

## 1 核子的电磁结构

- 重子形状因子
- 双光子交换的贡献

## 2 电荷不对称

- 角分布不对称的分析
- 双光子交换
- 质子电磁形状因子  $F_3$  的研究

## 3 其他高阶效应的排除

- 从 OPE  $\otimes$  TPE 中分离 IFI
- 分离效果

## 4 总结



# 重子形状因子

北京谱仪  
BESIII 上质子形状因子中的双光子交换效应

核子的电磁结构

重子形状因子

双光子交换的贡献

电荷不对称分析

角分布不对称的分析

双光子交换  
 $F_3$  的研究

其他高阶效应的排除

分离 IFI

分离效果

总结

- $e-p$  弹性散射证明质子有内部结构 (R. Hofstadter and R. W. McAllister, Phys. Rev. 98, 217 (1955))  
R. Hofstadter, 1961 年诺贝尔物理学奖)。

- 点状假设下, 理论上  $e-p$  弹性散射微分截面为:

$$\left(\frac{d\sigma}{d\Omega}\right)_{ep} = \left(\frac{d\sigma}{d\Omega}\right)_{Mott} \left(1 + 2\tau \tan^2 \frac{\theta}{2}\right) F(q^2).$$

- 理论和实验上的差异体现了质子内部电磁结构。

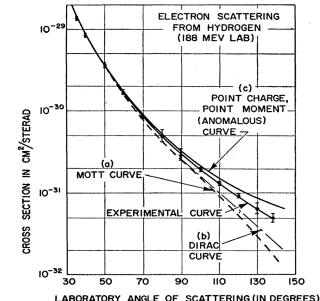
- 描述强子流的核子电磁顶点  $\Gamma_\mu$  为:

$$\Gamma_\mu(p', p) = \gamma_\mu F_1(q^2) + \frac{i\sigma_{\mu\nu}q^\nu}{2m_p c} F_2(q^2).$$

- 电磁形状因子 (EMFFs) (F. J. Ernst, R. G. Sachs and PR 119, 1105 (1960)):

电形状因子:  $G_E(q^2) = F_1(q^2) + \tau \kappa_p F_2(q^2)$ ,

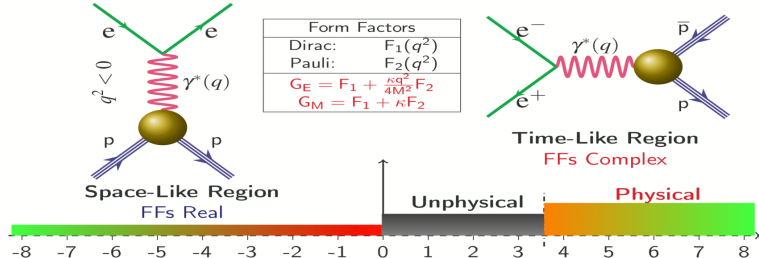
磁形状因子:  $G_M(q^2) = F_1(q^2) + \kappa_p F_2(q^2)$ .



# 重子形状因子

- 核子 EMFFs 是核子的基本性质：
  - 与电荷分布和磁化分布相关；
  - 测量核子 EMFFs 是检验核子内部结构模型的重要实验。

- 重子 EMFFs 包括类空 (SL) 和类时 (TL) :



- 描述强子流的核子电磁顶点  $\Gamma_\mu$  为：

$$\Gamma_\mu(p', p) = \gamma_\mu F_1(q^2) + \frac{i\sigma_{\mu\nu}q^\nu}{2m_p c} F_2(q^2).$$

- TL EMFFs 是复数 (N. Cabibbo and R. Gatto, PR 124, 1577 (1961)):

电形状因子:  $G_E(q^2) = e^{-i\theta_2}[F_1(q^2) + \tau\kappa_p F_2(q^2)]$ ,

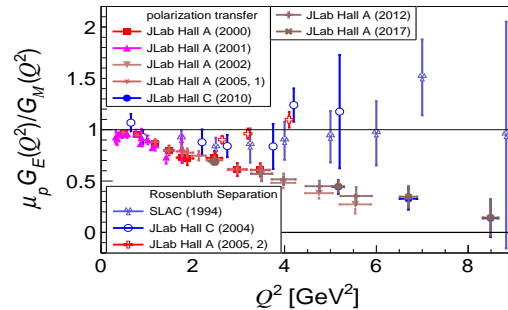
磁形状因子:  $G_M(q^2) = e^{-i(\theta_1+\theta_2)}[F_1(q^2) + \kappa_p F_2(q^2)]$ .

# 双光子交换的贡献

北京谱仪  
BESIII 上质子形状因子中的双光子交换效应

核子的电磁结构  
重子形状因子  
双光子交换的贡献  
电荷不对称  
角分布不对称的分析  
双光子交换  
 $T_3$  的研究  
其他高阶效应的排除  
分离 IFI  
分离效果  
总结

- 当前，双光子交换（TPE）的研究琳琅满目，这是精确测量时代解决核子结构的一种具有指导意义的方案（A. Schmidt *et al.*, arXiv:2308.0877 (2023)）。



(A. J. R. Puckett *et al.*, PRC 96, 055203 (2017), PRC 98, 019907 (2018))

- 研究TPE过程对于理解质子结构至关重要，因为历史上只对单光子交换（OPE）的重子对产生过程进行研究，这并不足够“精确”。
- TL过程中，在OPE的描述下，出射重子对的角分布并没有电荷不对称（Charge asymmetry）。

# 双光子交换

北京谱仪  
BESIII 上质子形状因子中的双光子交换效应

核子的电磁结构

重子形状因子  
双光子交换的贡献

电荷不对称  
角分布不对称的分析

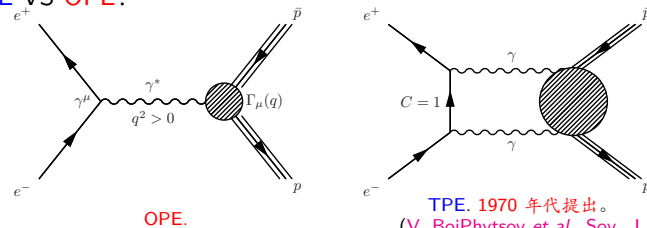
双光子交换  
 $F_3$  的研究

其他高阶效应的排除

分离 IFI  
分离效果

总结

## ■ TPE VS OPE:



- OPE 近似下的顶点:

$$J_\mu = \frac{e^2}{q^2} \bar{u}(k_2) \gamma_\mu u(k_1) \bar{u}(p_2) [\gamma_\mu F_1(q^2) + \frac{i\sigma_{\mu\nu} q^\nu}{2m_p c} F_2(q^2)] u(p_1).$$

- TPE 近似下的顶点:

$$J_\mu = \frac{e^2}{q^2} \bar{u}(k_2) \gamma_\mu u(k_1) \bar{u}(p_2) [\gamma_\mu \mathcal{F}_1(s, q^2) + \frac{i\sigma_{\mu\nu} q^\nu}{2m_p c} \mathcal{F}_2(s, q^2) + \hat{K} P_\mu \mathcal{F}_3(s, q^2)] u(p_1).$$

- 联系: 2 个复数振幅, 4 个参数  $\rightarrow$  3 个复数振幅, 6 个参数。

$$\mathcal{F}_1(s, q^2) \rightarrow F_1(q^2), \mathcal{F}_2(s, q^2) \rightarrow F_2(q^2), \mathcal{F}_3(s, q^2) \rightarrow 0,$$

# 双光子交换

北京谱仪  
BESIII 上质子形状因子中的双光子交换效应

核子的电磁结构

重子形状因子  
双光子交换的贡献

电荷不对称  
角分布不对称的分析

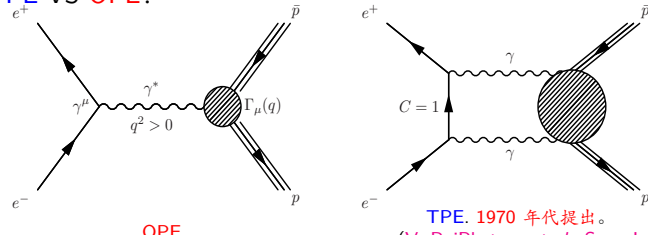
双光子交换  
 $F_3$  的研究

其他高阶效应的排除

分离 IFI  
分离效果

总结

## ■ TPE VS OPE:



TPE. 1970 年代提出。

- (V. BoiPhytsov et al., Sov. J. Nucl. Phys. **16**, 287 (1972)).  
 (V. Franco, PRD **8**, 826 (1973)).  
 (F. Lev, Sov. J. Nucl. Phys. **21**, 145 (1975)).  
 (H. Q. Zhou, PRC **95**, 025203 (2017)).

OPE	TPE
$F_i(q^2)$	$\mathcal{F}_i(s, q^2)$
$J^{PC} = 1^{--}$	$J^{PC} \neq 1^{--}$ , with only $C = +1$ known
$\frac{\sigma(e^+ p)}{\sigma(e^- p)} = 1$	$\frac{\sigma(e^+ p)}{\sigma(e^- p)} \neq 1$
$\frac{\mu_p G_E}{G_M} \sim 1$	$\frac{\mu_p G_E}{G_M}(q^2)$
$\frac{d\sigma_{pp}}{d\Omega} = a(q^2) + b(q^2) \cos^2 \theta$	$\frac{d\sigma_{pp}^{int}}{d\Omega} = \cos \theta [c_0(q^2) + c_1(q^2) \cos^2 \theta + c_2(q^2) \cos^4 \theta + ...]$

## ■ 出射重子对的角分布是检测单双光子干涉的关键!



# 类时区间双光子交换实验研究的初期探索

北京谱仪  
BESIII 上质子形状因子中的双光子交换效应

核子的电磁结构  
质子形状因子

双光子交换的贡献

电荷不对称

角分布不对称的分析

双光子交换

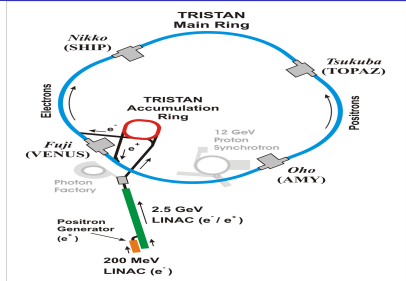
$T_3$  的研究

其他高阶效应的排除

分离 IFI

分离效果

总结



## ■ 背景：

- 20世纪70年代标准模型初步建立，中微子、粲夸克， $\tau$ 轻子陆续被发现。
- 20世纪80年代，试图寻找顶夸克，认为质量在10~25 GeV之间，但被PEP和PETRA加速器排除。
- TRISTAN存储环是当时探索更高质量顶夸克的希望。

## ■ AMY实验的创建：

- Stephen Olsen与Steve Schnetzer共同提出了AMY实验建议。
- 初期因团队规模过小被实验委员会拒绝，但在韩国大学和高能所的加入后获得批准。
- AMY的目标是探测顶夸克以及相关物理现象。



# 类时区间双光子交换实验研究的初期探索

北京谱仪  
BESIII 上质子形状因子中的双光子交换效应

核子的电磁结构

双光子交换的贡献

电荷不对称

角分布不对称的分析

双光子交换

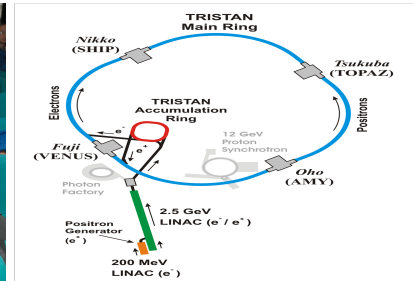
$F_3$  的研究

其他高阶效应的排除

分离 IFI

分离效果

总结



## ■ 叶铭汉先生的贡献：

- 在 1984 年起主持了高能所的 BES 实验，与 AMY 团队进行了跨国合作。
- 他通过外交手段解决了中国团队与韩国科学家合作的敏感问题。
- 在 AMY 实验中，领导了飞行时间计数器 (TOF) 和电磁量能器 (EMC) 的关键部件建造。

## ■ 科学成果：

- AMY 实验尽管未发现顶夸克，但在 QCD 的研究取得了诸多突破。
- 推动了 BEPC/BES 的建造和升级。



# 类时区间双光子交换实验研究的初期探索

北京谱仪  
BESIII 上质子形状因子中的双光子交换效应

核子的电磁结构

双光子交换的贡献

电荷不对称

角分布不对称的分析

双光子交换  
 $F_3$  的研究

其他高阶效应的排除

分离 IFI

分离效果

总结



- 叶铭汉先生在 AMY 实验中认识到  $A_{FB}$  的重要性，提出通过研究这一效应，可以深入理解质子内部结构和 QED。
  - 提出在  $e^+e^-$  湮没过程中，**单双光子干涉**产生的  $A_{FB}$  与  $Q_q^3$  (夸克电荷三次方) 成正比。
  - 提供一种独立测量的新方法。
- 在 AMY 实验运行时期，叶铭汉先生投入大量精力，试图从实验数据中寻找  $A_{FB}$ 。
- 然而，由于 TRISTAN 对撞机能量范围 (50~64 GeV)，**单双光子干涉**过程的振幅较小，未能达到足够的证据说明问题。
- 为 BESIII**双光子效应**的测量打下了基础。



# 电荷不对称

北京谱仪  
**BESIII** 上质子形状因子中的双光子交换效应

核子的电磁结构

重子形状因子  
双光子交换的贡献

电荷不对称  
角分布不对称的分析  
双光子交换  
 $F_3$  的研究

其他高阶效应的排除  
分离 IFI  
分离效果  
总结

## 1 核子的电磁结构

- 重子形状因子
- 双光子交换的贡献

## 2 电荷不对称

- 角分布不对称的分析
- 双光子交换
- 质子电磁形状因子  $F_3$  的研究

## 3 其他高阶效应的排除

- 从 OPE  $\otimes$  TPE 中分离 IFI
- 分离效果

## 4 总结

# 电荷不对称

北京谱仪  
BESIII 上质子形状因子中的双光子交换效应

核子的电磁结构

重子形状因子  
双光子交换的贡献

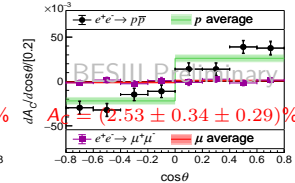
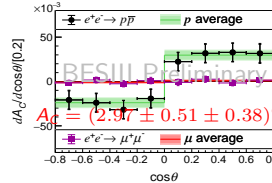
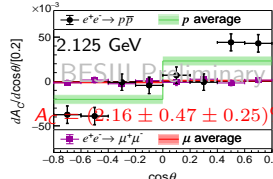
电荷不对称  
角分布不对称的分析  
双光子交换  
 $T_3$  的研究

其他高阶效应的排除

分离 IFI

分离效果

总结



■ 不对称性可以通过电荷不对称的角分布量化：

$$\frac{dA_C}{d \cos \theta} = \frac{d\sigma_p(\cos \theta) - d\sigma_{\bar{p}}(\cos \theta)}{d\sigma_p(\cos \theta) + d\sigma_{\bar{p}}(\cos \theta)},$$

其中  $d\sigma_p(\cos \theta)$  和  $d\sigma_{\bar{p}}(\cos \theta)$  分别代表  $e^+e^- \rightarrow p\bar{p}$  末态  $p$  和  $\bar{p}$  的微分截面，由经过修正的  $p$  和  $\bar{p}$  角分布得到。

■ 电荷不对称的累计值：

$$A_C = \frac{\sigma_p(\cos \theta > 0) - \sigma_{\bar{p}}(\cos \theta > 0)}{\sigma_p(\cos \theta > 0) + \sigma_{\bar{p}}(\cos \theta > 0)},$$

质子的  $A_C$  如图中绿色直线和误差带表示， $\mu^+$  的  $A_C$  如图中红色直线和误差带表示。

# 不对称的来源?

北京谱仪  
**BESIII** 上质子  
子形状因子中的  
双光子交换  
效应

核子的电磁结  
构

重子形状因子  
双光子交换的质  
量

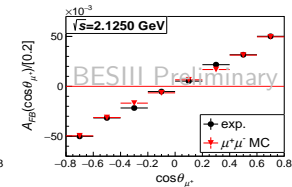
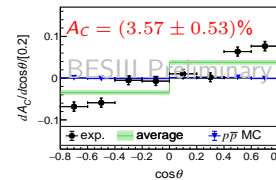
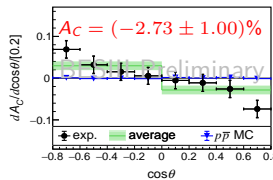
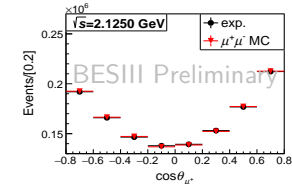
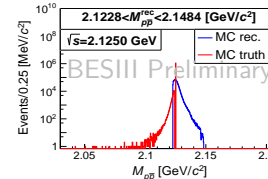
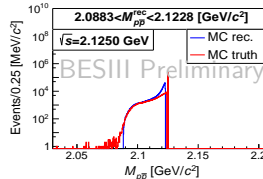
电荷不对称  
角分布不对称的  
分析

双光子交换  
 $T_3$  的研究

其他高阶效  
应的排除

分离 IFI  
分离效果

总结



(a) 从 OPE  $\otimes$  TPE 分离出 IFI。

(b)  $M_{\mu^+ \mu^-}$  分析。

## ■ 源自于物理:

- $\gamma-Z^0$  干涉:  $< 10^{-4}$  因远离  $\sqrt{s} \ll M_Z$  区域, 所以不可能!
- 真空极化 (VP) + 初态辐射 (ISR) + 末态辐射 (FSR)? 不可能!
- 初末态辐射干涉 (IFI)? 通过研究  $e^+e^- \rightarrow \mu^+\mu^-$  和在不同重建的  $M_{pp}$ ,  $M_{\mu^+\mu^-}$  的区间, 不同 IFI 类事例比率分析。
- 单双光子干涉?

# 电荷不对称

北京谱仪  
BESIII 上质子形状因子中的双光子交换效应

核子的电磁结构  
核子形状因子

双光子交换的贡献  
电荷不对称

角分布不对称的分析  
双光子交换

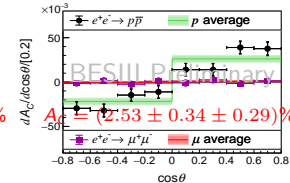
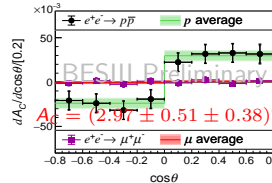
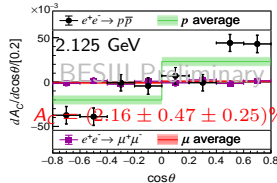
$J_3$  的研究

其他高阶效应的排除

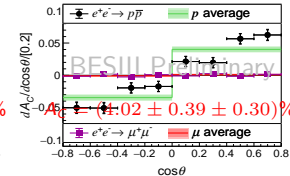
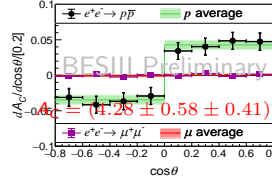
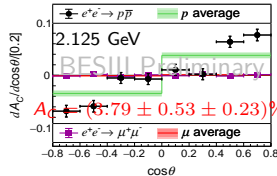
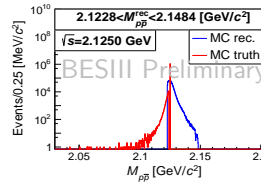
分离 IFI

分离效果

总结



通过  $M_{p\bar{p}}$  把类 Born 事例分离出来。



# 双光子交换

北京谱仪  
**BESIII** 上质子形状因子中的双光子交换效应

核子的电磁结构

重子形状因子  
双光子交换的贡献

电荷不对称

角分布不对称的分析

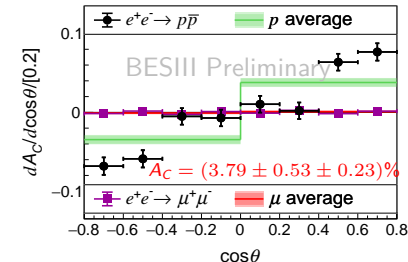
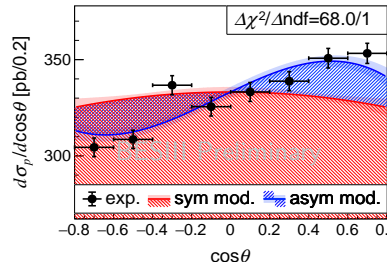
双光子交换  
 $\mathcal{I}_3$  的研究

其他高阶效应的排除

分离 IFI

分离效果

总结



■ 出射  $p$  的角分布的对称模型：

$$\frac{d\sigma_{p\bar{p}}^{\text{OPE}}}{d\cos\theta} = a_0^{\text{OPE}}(q^2) + a_2^{\text{OPE}}(q^2)\cos^2\theta,$$

其中，

$$a_0^{\text{OPE}}(q^2) = \frac{\pi\alpha_{\text{EM}}^2\beta C}{2q^2} \left[ |G_M^{\text{OPE}}(q^2)|^2 + \frac{4m_p^2c^2}{q^2} |G_E^{\text{OPE}}(q^2)|^2 \right],$$

$$a_2^{\text{OPE}}(q^2) = \frac{\pi\alpha_{\text{EM}}^2\beta C}{2q^2} \left[ |G_M^{\text{OPE}}(q^2)|^2 - \frac{4m_p^2c^2}{q^2} |G_E^{\text{OPE}}(q^2)|^2 \right],$$

是 OPE 近似下的  $|G_E(q^2)|^2$  和  $|G_M(q^2)|^2$  的线性组合。

# 双光子交换

北京谱仪  
BESIII 上质子形状因子中的双光子交换效应

核子的电磁结构  
重子形状因子  
双光子交换的贡献  
电荷不对称  
角分布不对称的分析  
双光子交换  
 $T_3$  的研究  
其他高阶效应的排除  
分离 IFI  
分离效果  
总结

- 右图是除了 2.125 GeV 的 16 个能量点数据的累计：
- 不对称模型：

$$\frac{d\sigma_{p\bar{p}}}{d \cos \theta} = a_0(q^2) + a_1(q^2) \cos \theta + a_2(q^2) \cos^2 \theta - a_1(q^2) \cos^3 \theta.$$

其中：

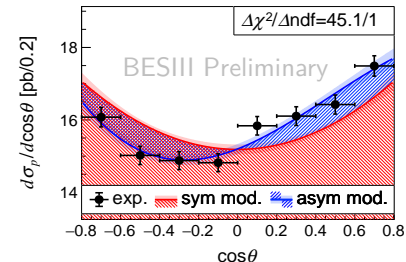
$$a_0(q^2) = \frac{\pi \alpha_{EM}^2 \beta C}{2q^2} \left[ |G_M(q^2)|^2 + 2\Re[G_M(q^2)\Delta G_M(q^2)] + \frac{4m_p^2 c^2}{q^2} \{ |G_E(q^2)|^2 + 2\Re[G_E(q^2)\Delta G_E(q^2)] \} \right],$$

$$= \frac{\pi \alpha_{EM}^2 \beta C}{2q^2} \left[ |\tilde{G}_M(q^2)|^2 + \frac{4m_p^2 c^2}{q^2} |\tilde{G}_E(q^2)|^2 \right] = a_0^{OPE}(q^2) + \Delta a_0(q^2),$$

$$a_2(q^2) = \frac{\pi \alpha_{EM}^2 \beta C}{2q^2} \left[ |G_M(q^2)|^2 + 2\Re[G_M(q^2)\Delta G_M(q^2)] - \frac{4m_p^2 c^2}{q^2} \{ |G_E(q^2)|^2 + 2\Re[G_E(q^2)\Delta G_E(q^2)] \} \right],$$

$$= \frac{\pi \alpha_{EM}^2 \beta C}{2q^2} \left[ |\tilde{G}_M(q^2)|^2 - \frac{4m_p^2 c^2}{q^2} |\tilde{G}_E(q^2)|^2 \right] = a_2^{OPE}(q^2) + \Delta a_2(q^2),$$

是  $|\tilde{G}_E(q^2)|^2$  和  $|\tilde{G}_M(q^2)|^2$  的线性组合。其中  $|\tilde{G}_E(q^2)| \approx |G_E(q^2)|$ ,  $|\tilde{G}_M(q^2)| \approx |G_M(q^2)|$ 。





# 双光子交换

北京谱仪  
BESIII 上质子形状因子中的  
双光子交换效应

核子的电磁结构  
重子形状因子  
双光子交换的贡献  
电荷不对称  
角分布不对称的分析  
双光子交换  
 $F_3$  的研究  
其他高阶效应的排除  
分离 IFI  
分离效果  
总结

- 右图是包含 2.125 GeV 的 17 个能量点累计：
- 不对称模型：

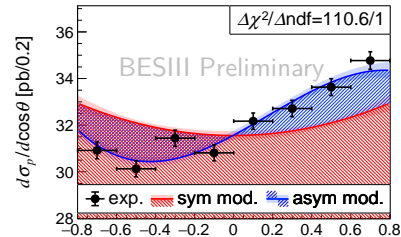
$$\frac{d\sigma_{p\bar{p}}}{d\cos\theta} = a_0(q^2) + a_1(q^2)\cos\theta + a_2(q^2)\cos^2\theta - a_1(q^2)\cos^3\theta.$$

其中  $a_0(q^2) = a_0^{\text{OPE}}(q^2) + \Delta a_0(q^2)$ ,  $a_2(q^2) = a_2^{\text{OPE}}(q^2) + \Delta a_2(q^2)$ ,

$$a_1(q^2) = \frac{\pi\alpha_{\text{EM}}^2\beta^2 C}{q^2(1-\beta^2)} \Re e \left\{ \left[ \frac{4m_p^2c^2}{q^2} G_E(q^2) - G_M(q^2) \right] \mathcal{F}_3(q^2) \right\},$$

$$= \frac{\pi\alpha_{\text{EM}}^2\beta^2 C}{q^2(1-\beta^2)} A(q^2).$$

$a_1(q^2)$  是反对称项。





# 电荷不对称的结果

北京谱仪  
BESIII 上质子  
子形状因子中  
的双光子交换  
效应

- 我们确定了  $e^+e^- \rightarrow p\bar{p}$  过程末态  $p\bar{p}$  角分布的不对称。
- 确定了单双光子干涉的截面及其比率和电荷不对称。

$\sqrt{s}$ [GeV]	$\sigma_{pp}^{\text{OPE}}$	$\sigma_{pp}^{\text{OPE} \otimes \text{TPE}}$	$\sigma_{pp}^{\text{OPE} \otimes \text{TPE}} / \sigma_{pp}^{\text{OPE}} [\%]$	Significance	$A_C [\%]$
核子的电磁结构					
2.0000	$769.7 \pm 11.7 \pm 2.1$	$18.5 \pm 11.1 \pm 1.7$	$2.41 \pm 1.44 \pm 0.28$	1.7	$2.45 \pm 1.53 \pm 0.36$
2.0500	$647.6 \pm 18.0 \pm 2.7$	$9.0 \pm 16.6 \pm 2.0$	$1.39 \pm 2.57 \pm 0.36$	0.5	$1.56 \pm 2.75 \pm 0.48$
重子形状因子					
2.1000	$625.7 \pm 9.2 \pm 0.9$	$28.9 \pm 8.5 \pm 0.9$	$4.61 \pm 1.37 \pm 0.23$	3.4	$4.95 \pm 1.46 \pm 0.27$
双光子交换的贡献					
2.1250	$529.9 \pm 2.8 \pm 1.1$	$21.6 \pm 2.6 \pm 0.6$	$4.08 \pm 0.50 \pm 0.21$	8.2	$3.79 \pm 0.53 \pm 0.23$
2.1500	$486.9 \pm 16.9 \pm 2.1$	$0.5 \pm 15.2 \pm 1.0$	$0.11 \pm 3.11 \pm 0.27$	0.0	$0.10 \pm 3.37 \pm 0.37$
电荷不对称角分布不对称的分析					
2.1750	$404.1 \pm 7.8 \pm 5.5$	$21.9 \pm 7.1 \pm 0.5$	$5.42 \pm 1.76 \pm 0.21$	3.1	$7.14 \pm 1.88 \pm 0.61$
2.2000	$334.5 \pm 6.2 \pm 4.6$	$9.0 \pm 5.7 \pm 0.4$	$2.70 \pm 1.70 \pm 0.21$	1.6	$3.69 \pm 1.82 \pm 0.62$
2.2324	$272.5 \pm 5.3 \pm 3.7$	$9.9 \pm 5.0 \pm 0.6$	$3.64 \pm 1.85 \pm 0.28$	2.0	$3.53 \pm 1.95 \pm 0.64$
双光子交换 $J_3$ 的研究					
2.3094	$114.7 \pm 2.7 \pm 1.8$	$5.3 \pm 2.6 \pm 0.2$	$4.63 \pm 2.31 \pm 0.25$	2.0	$5.31 \pm 2.43 \pm 0.63$
2.3864	$104.8 \pm 2.9 \pm 1.5$	$3.2 \pm 2.8 \pm 0.6$	$3.09 \pm 2.64 \pm 0.60$	1.2	$3.08 \pm 2.78 \pm 0.90$
2.3960	$101.8 \pm 1.6 \pm 1.6$	$4.0 \pm 1.6 \pm 0.2$	$3.95 \pm 1.56 \pm 0.28$	2.5	$5.81 \pm 1.63 \pm 0.65$
其他高阶效应的排除					
2.4000	$98.0 \pm 7.1 \pm 1.1$	$9.3 \pm 6.9 \pm 0.9$	$9.48^{+7.11}_{-7.09} \pm 0.93$	1.3	$10.61 \pm 7.37 \pm 0.94$
2.6444	$17.74 \pm 0.97 \pm 0.34$	$-0.04 \pm 0.94 \pm 0.13$	$-0.24 \pm 5.31 \pm 0.76$	0.0	$0.30 \pm 5.55 \pm 0.92$
2.6464	$27.77 \pm 1.24 \pm 0.43$	$1.70 \pm 1.16 \pm 0.27$	$6.11 \pm 4.20 \pm 0.97$	1.5	$8.54 \pm 4.39 \pm 1.14$
分离 IFI					
2.9000	$11.72 \pm 0.45 \pm 0.17$	$1.08 \pm 0.43 \pm 0.04$	$9.19 \pm 3.74 \pm 0.34$	2.5	$11.13 \pm 3.88 \pm 0.69$
分离效果					
3.0091	$6.51 \pm 0.35 \pm 0.11$	$0.76 \pm 0.34 \pm 0.04$	$11.65 \pm 5.30 \pm 0.58$	2.2	$9.78 \pm 5.48 \pm 0.87$
总结					
3.0800	$6.39 \pm 0.20 \pm 0.10$	$-0.03 \pm 0.20 \pm 0.02$	$-0.43^{+3.07}_{-3.07} \pm 0.34$	0.1	$-1.06 \pm 3.22 \pm 0.66$
3.5843	$1.14 \pm 0.04 \pm 0.02$	$0.03 \pm 0.04 \pm 0.01$	$2.68 \pm 3.60 \pm 0.72$	0.7	$3.90 \pm 3.76 \pm 0.93$
Average <sup>1</sup>	$25.32 \pm 0.15 \pm 0.23$	$0.93 \pm 0.14 \pm 0.03$	$3.66 \pm 0.55 \pm 0.20$	6.7	$4.28 \pm 0.58 \pm 0.41$
Average <sup>2</sup>	$51.31 \pm 0.20 \pm 0.22$	$1.98 \pm 0.19 \pm 0.05$	$3.85 \pm 0.37 \pm 0.20$	10.5	$4.02 \pm 0.39 \pm 0.30$

<sup>1</sup> Denotes average of all the  $dN(\cos \theta)$ , excluding the data at  $\sqrt{s} = 2.125$  GeV.

<sup>2</sup> Denotes average of all the  $dN(\cos \theta)$ , including the data at  $\sqrt{s} = 2.125$  GeV. ↗ ↘ ↙



# $\mathcal{F}_3$ 相关项的研究

北京谱仪  
BESIII 上质子形状因子中的双光子交换效应

核子的电磁结构

重子形状因子  
双光子交换的贡献

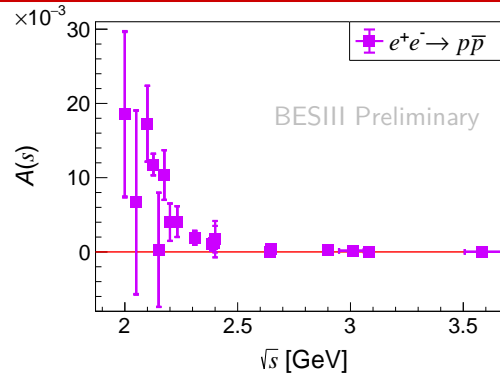
电荷不对称  
角分布不对称的分析

双光子交换  
 $\mathcal{F}_3$  的研究

其他高阶效应的排除

分离 IFI  
分离效果

总结



- $A$  和有效形状因子  $\mathcal{F}_3$  相关。
  - $\mathcal{F}_3$  是描述核子电磁结构描述 TPE 相关的高阶修正。
- $$A(q^2) = \Re e \left\{ \left[ \frac{4m_p^2 c^2}{q^2} G_E(q^2) - G_M(q^2) \right] \mathcal{F}_3(q^2) \right\},$$
- MAMI 合作组曾经测量 SL 的  $A_{\perp}^{ep}$ , 不仅和  $G_E$ ,  $G_M$ ,  $\mathcal{F}_3$  相关, 还和  $\mathcal{F}_4$ ,  $\mathcal{F}_5$  相关 ([B. X. Gou et al., PR 124, 122003 \(2020\)](#))。

# 色散关系

北京谱仪  
BESIII 上质子形状因子中的双光子交换效应

核子的电磁结构

重子形状因子  
双光子交换的贡献

电荷不对称  
角分布不对称的分析

双光子交换  
 $\mathcal{I}_3$  的研究

其他高阶效应的排除

分离 IFI  
分离效果

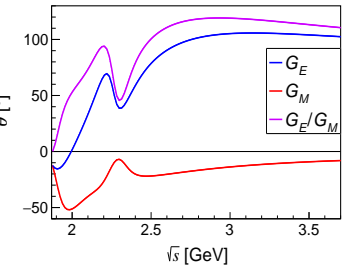
总结

- David Gross的建议。
- 通过色散关系得到的模型计算出  $G_E$  和  $G_M$  的相位，进而知道实部（Eur. Phys. J. A . 57, 255 (2021)）。

Dispersion relations (DRs) are based on unitarity and analyticity. Here, DRs relate the real and imaginary parts of the electromagnetic nucleon form factors. Let  $F(t)$  be a generic symbol for any one of the four independent nucleon form factors. We write down an unsubtracted dispersion relation of the form

$$F(t) = \frac{1}{\pi} \int_{t_0}^{\infty} \frac{\text{Im } F(t')}{t' - t - i\epsilon} dt', \quad (26)$$

where  $t_0$  is the threshold of the lowest cut of  $F(t)$  (see below) and the  $i\epsilon$  defines the integral for values of  $t$  on the cut. The convergence of an unsubtracted dispersion relation for the form factors has been assumed. For proofs of such a representation in perturbation theory, see Ref. [69] (and references



# 首次确定了电磁形状因子 $F_3$ 的性质

北京谱仪  
BESIII 上质子  
子形状因子中  
的双光子交换  
效应

核子的电磁结  
构

重子形状因子  
双光子交换的质  
量

电荷不对称

角分布不对称的  
分析

双光子交换

$F_3$  的研究

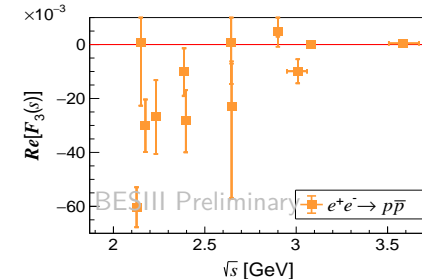
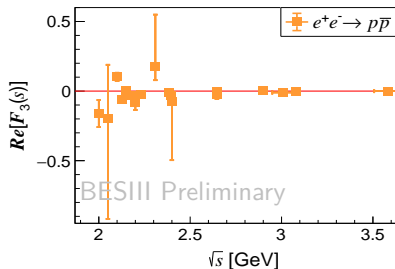
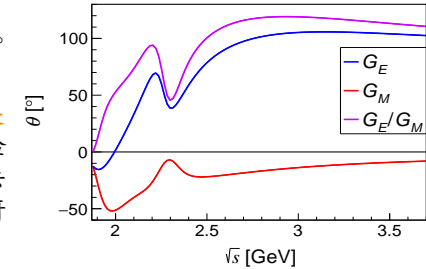
其他高阶效  
应的排除

分离 IFI

分离效果

总结

- 色散关系计算出  $G_E$  和  $G_M$  的实部。
- 拟合得到  $F_3$  的实部。
- 未来通过更精确的色散关系计算、横向束流极化实验和  $e^+e^- \rightarrow \gamma p\bar{p}$  等方法得到  $\text{Re}(G_E)$  和  $\text{Re}(G_M)$ ，进而研究  $F_3$  形状因子的测量。





# 其他高阶效应的排除

北京谱仪  
**BESIII** 上质子形状因子中  
的双光子交换  
效应

核子的电磁结构  
重子形状因子  
双光子交换的贡献  
电荷不对称  
角分布不对称的分析  
双光子交换  
 $F_3$  的研究

其他高阶效应  
的排除  
分离 IFI  
分离效果  
总结

## 1 核子的电磁结构

- 重子形状因子
- 双光子交换的贡献

## 2 电荷不对称

- 角分布不对称的分析
- 双光子交换
- 质子电磁形状因子  $F_3$  的研究

## 3 其他高阶效应的排除

- 从 OPE  $\otimes$  TPE 中分离 IFI
- 分离效果

## 4 总结

# 从单双光子干涉分离出初末态辐射干涉

北京谱仪  
**BESIII** 上质子形状因子中的  
双光子交换效应

核子的电磁结构

重子形状因子  
双光子交换的贡献

电荷不对称  
角分布不对称的分析

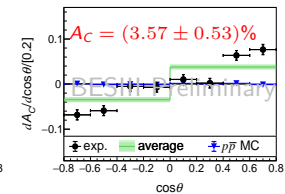
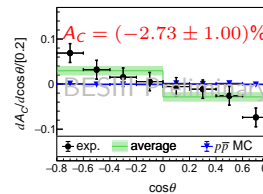
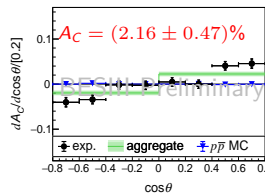
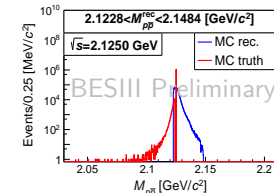
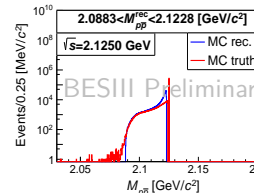
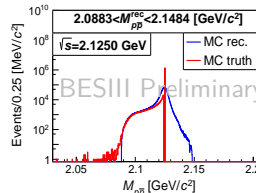
双光子交换  
 $D_A$  的研究

其他高阶效应的排除

分离 IFI

分离效果

总结



- 2.125 GeV 上不同的重建能量范围的  $A_C$ :
  - 通过 MC truth 溯源实例的类别；
  - 发现有两种不对称形式。



北京谱仪  
BESIII 上质子  
子形状因子中  
的双光子交换  
效应

核子的电磁结  
构

重子形状因子  
双光子交换的实  
验

电荷不对称  
角分布不对称的  
分析

双光子交换  
 $D_3$  的研究

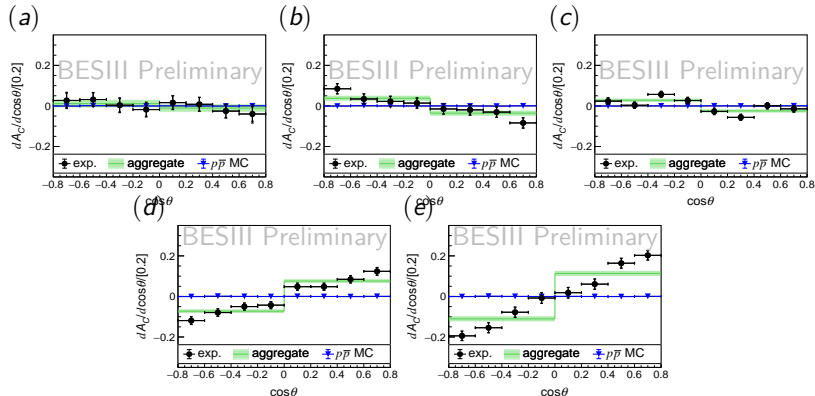
其他高阶效  
应的排除

分离 IFI

分离效果

总结

# 从单双光子干涉分离出初末态辐射干涉



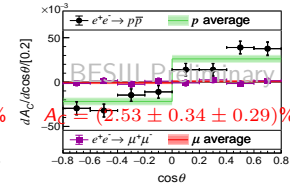
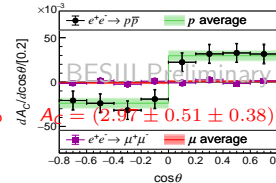
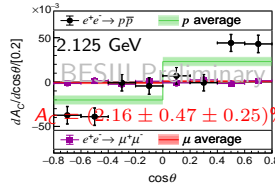
## ■ 5 个能量区间 $dA_C/d \cos \theta$ 的行为：

- 较低  $M_{p\bar{p}}$  的  $dA_C/d \cos \theta$  是负斜率，较高  $M_{p\bar{p}}$  的  $dA_C/d \cos \theta$  是正斜率，中间部分较平。
- (d) 和 (e) 显示以 OPE  $\otimes$  TPE 类事例为主，特征是较小能量损失；相反地，(a) 和 (b) 显示以硬 IFI-like 类事例为主。

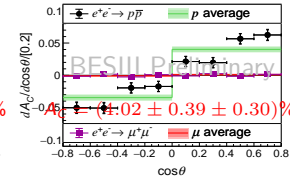
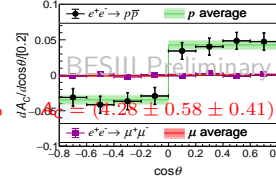
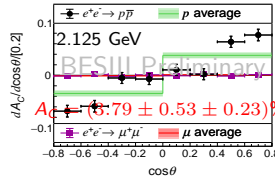
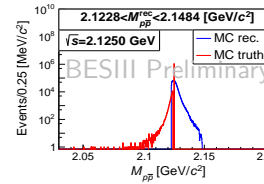
# 分离效果

北京谱仪  
**BESIII** 上质子  
子形状因子中的  
的双光子交换  
效应

核子的电磁结  
构  
重子形状因子  
双光子交换的重  
效应  
电荷不对称  
角分布不对称的  
分析  
双光子交换  
 $D_A$  的研究  
其他高阶效应  
的排除  
分离 IFI  
分离效果  
总结



通过  $M_{p\bar{p}}$  把类  
Born 事例分离  
出来。





# 总结

北京谱仪  
**BESIII** 上质子形状因子中的双光子交换效应

核子的电磁结构

重子形状因子  
双光子交换的贡献

电荷不对称  
角分布不对称的分析

双光子交换  
 $F_3$  的研究

其他高阶效应的排除

分离 IFI  
分离效果

总结

## 1 核子的电磁结构

- 重子形状因子
- 双光子交换的贡献

## 2 电荷不对称

- 角分布不对称的分析
- 双光子交换
- 质子电磁形状因子  $F_3$  的研究

## 3 其他高阶效应的排除

- 从 OPE  $\otimes$  TPE 中分离 IFI
- 分离效果

## 4 总结

# 总结

北京谱仪  
BESIII 上质子形状因子中的双光子交换效应

核子的电磁结构

重子形状因子  
双光子交换的贡献

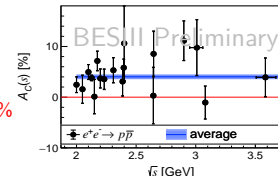
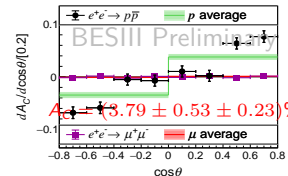
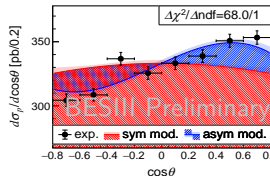
电荷不对称  
角分布不对称的分析

双光子交换  
 $J_3$  的研究

其他高阶效应的排除

分离 IFI  
分离效果

总结



- 在 TL 区间首次发现 TPE 效应：
  - 发现  $e^+e^- \rightarrow p\bar{p}$  过程末态角分布的 不对称,  $8.2\sigma$ ;
  - 电荷不对称 TPE 效应导致。
- 使得对质子 FFs 的认识更深入一步：
  - 在 TL 区间, 对  $2.000 - 3.671$  GeV 的质子 FFs 进行了最精确的测量;
- 理论和实验, 直接与间接证明 电荷不对称 TPE 效应导致。
  - 通过和  $e^+e^- \rightarrow \mu^+\mu^-$  过程的对比确定是 OPE  $\otimes$  TPE 造成的 不对称。
  - 通过分离出 IFI 事例确定 OPE  $\otimes$  TPE 造成的 不对称。

# 总结

北京谱仪  
BESIII 上质子形状因子中的双光子交换效应

核子的电磁结构

重子形状因子  
双光子交换的贡献

电荷不对称  
角分布不对称的分析

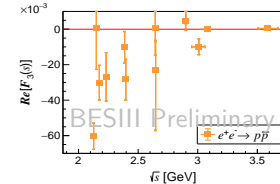
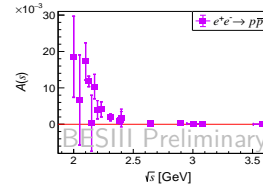
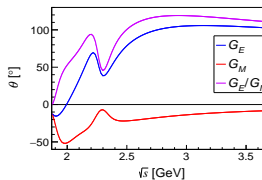
双光子交换  
 $F_3$  的研究

其他高阶效应的排除

分离 IFI

分离效果

总结



BESIII Preliminary

## 对于质子内部电磁结构和动力学更加深入的认识：

- 为质子内部结构和 QED 的深入理解提供了实验结果；
- BESIII 对于  $F_3$  完成首次最直接的研究，也是首次 TL 区域的研究。
- TL 区域中  $\text{Re}(G_E)$  和  $\text{Re}(G_M)$  尚未直接测量，估计  $\text{Re}(F_3)$  为负，量级在  $10^{-2} \sim 10^{-1}$ ，进一步反映了  $F_3$  在质子电磁结构中的重要作用。
- 未来通过更精确的色散关系计算、横向束流极化实验和  $e^+e^- \rightarrow \gamma p\bar{p}$  等方法得到  $\text{Re}(G_E)$  和  $\text{Re}(G_M)$ ，进而研究  $F_3$  形状因子的测量。为子 TLFFs 的复数形式的研究奠定了基础。

意义：首次在 TL 区间，明确观测到 TPE 的效应，为 QED 和质子结构提供了新的见解。

# Thanks for your attention!